2 U34U4U1 UUA 948A4 ФЗАНЬББЕР И4U46U4U34 S6U64U94P ИЗВЕСТИЯ АКАДЕМИИ НАУК АРМЯНСКОЙ ССР

Տեխնիկական գիտութ. սերիա

XVI, № 5, 1963

Серия технических наук

ВЫЧИСЛИТЕЛЬНАЯ ТЕХНИКА

П. А. МАТЕВОСЯН

множительное устройство на варисторах

За последние годы разработано значительное число различных типов множительных устройств, необходимых для использования в вычислительных машинах непрерывного действия (ВМНД). Предложен [1, 2, 4, 5] ряд схем множительных устройств, основанных на использовании свойств нелинейных полупроводниковых сопротивлений (НПС). Множительное устройство на НПС, по сравнению с множительным устройством на диодных квадраторах, имеет ряд преимуществ, однако их изготовление связано с предварительным расчетом каждого квадратора, что вызывает ряд неудобств в серийном производстве. В этой статье рассматривается способ расчета параметров множительного устройства на НПС (варисторах), основанный на предварительном установлении параметров квадратора посредством схемы, собранной на ВМНД.

Установление параметров квадратора

В качестве НПС были использованы варисторы типа НПС—100— —1,5—3,6 диаметром 15 мм Таллинского радиотехнического завода. Предварительные испытания показали, что вольтамперная характеристика почти всех варисторов, имеющейся в нашем распоряжении партии, отличалась от квадратичной.

Существует ряд схем, позволяющих приблизить характеристику квадратора на НПС к квадратичной. В этих схемах путем включения последовательно и параллельно с НПС активных сопротивлений добиваются совпадения характеристики квадратора в трех точках с квадратичной функцией. Затем определяется путем измеречий и оценивается отклонение характеристики квадратора от идеальной в других точках.

С целью упрощения способа установления параметров квадратора была собрана на машине МПТ-9 блок-схема (рис. 1) позволяющая реализовать зависимость вида:

$$U_{\text{BMX}} = K_{\text{B}} \frac{100}{R_{\text{g}} + R_{\text{B}}} U_{\text{ex}}, \qquad (1)$$

где $R_{\rm B}$ — сопротивление варистора (ком);

 $R_{\rm g}$ — добавочное к варистору сопротивление (ком);

 $K_{\rm B}$ — коэффициент, подбираемый посредством делителя D для получения с определенной точностью на выходе схемы рис. 1 напряжения вида:

$$U_{\text{BMX}} = \frac{U_{\text{BX}}^2}{100} .$$

Схема рис. 1 позволяет установить параметры R_g и K_B при условии совпадения характеристики квадратора с идеальной в двух точках и в пределах заданного допуска в третьей точке.

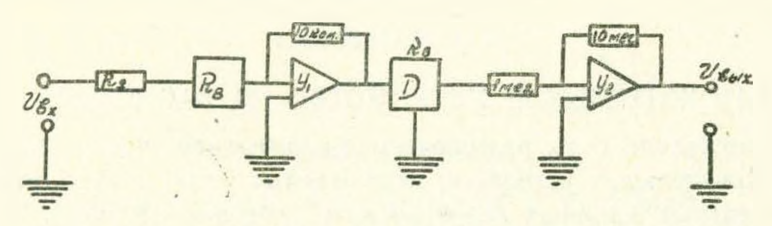


Рис. 1.

После ряда исследований полученных характеристик были выбраны следующие три значения входного папряжения $U_{\rm BX}=90$, 50, 20 в. При этом на выходе схемы при соответствующих значениях $R_{\rm K}$ и $K_{\rm B}$ следует получить, соответственно $U_{\rm BMX}=81$, 25 и 4 ± 4 ,5 в.

Экспериментальное исследование показало, что при выборе таких точек отклонение характеристики квадратора от идеальной во всех остальных точках, в подавляющем большинстве случаев, не превышает $0.5^{\circ}/_{\circ}$ по отношению к полной шкале $100 \ \sigma$.

Для нахождения параметров $R_{\rm g}$ и $K_{\rm B}$ была использована следующая последовательность действий:

- а) При помощи магазина сопротивлений устанавливается величина R_g в пределах $5 \div 10$ ком;
- б) Делителем напряжения D достигается при $U_{\rm sx}=50~$ в на выходе схемы $U_{\rm выx}=25~$ в;
- в) На вход схемы (рис. 1) подается напряжение $U_{\rm Bx}=90~\rm s$ и измеряется величина $U_{\rm Bhx}$. Если оказывается, что $U_{\rm Bhx}>81~\rm s$, то величина $R_{\rm g}$ увеличивается, а если $U_{\rm Bhx}<81~\rm s$, то величина $R_{\rm g}$ уменьшается;
- г) Для пового значения R_g при $U_{\rm Bx}=50~g$ аналогично предыдущему подбирается посредством делителя новое значение $K_{\rm B}$, обеспечивающее на выходе схемы $U_{\rm BMX}=25~g$;
 - д) Повгорно измеряется величина $U_{\text{вых}}$ при $U_{\text{вх}}=90s$.

Пункты б) и в) повторяются до достижения на выходе схемы $U_{\text{вых}} = 25~\text{в}$ и $U_{\text{вых}} = 81~\text{в}$ при $U_{\text{вх}}$, соответственно 50 и 90 в (практически подбор R_{K} и K_{B} достигается за $3 \div 4$ цикла). После этого измеряется величина $U_{\text{вых}}$ при $U_{\text{вх}} = 20~\text{в}$. Варисторы, у которых $U_{\text{вых}}$ оказываются меньше 4,4 в, считаются подобранными.

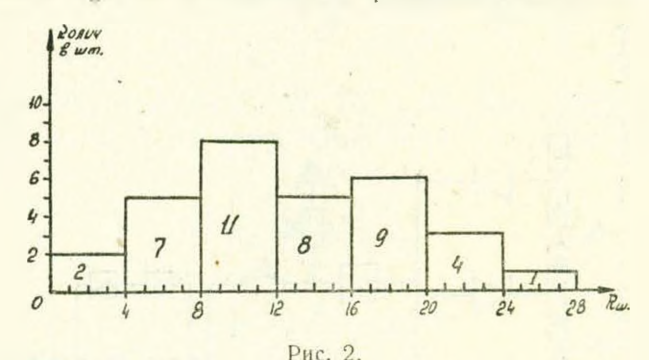
Описанным способом было установлено R_{κ} и $K_{\rm B}$ для 42 варистор ${ullet}$ в*.

^{*} В опытах по испытанию и подбору параметров квадратора принимала участие А. Г. Абгарян.

В результате экспериментов выявлено, что только у $15 \pm 20^{\circ}/_{o}$ варисторов величина напряжения $U_{\rm вых}$ при $U_{\rm вx} = 20~s$ оказалось больше 4,4~s.

Характеристику квадратора можно изменить так, чтобы получить и при $U_{\rm вx}=20~{\rm s}$ значение $U_{\rm выx}=4~{\rm s}$. Этого добиваются путем подключения параллельно варистору омического сопротивления $R_{\rm n}$ по схеме, описанной в работах [1], [2]. Однако, с целью упрощения схемы и методики выбора параметров квадратора, а также учитывая заданную точность квадратора $0.5^{\rm o}/_{\rm o}$, второе сопротивление $R_{\rm n}$ в схему квадратора не включалось.

На основе установленных значений R_g и K_B построены гистограммы (рис. 2 и 3), из которых видно, что величины R_g и K_B у варистров испытанной партии имеют довольно широкий разброс. Отношение величин R_g и K_B находится в пределах $20 \div 35$.



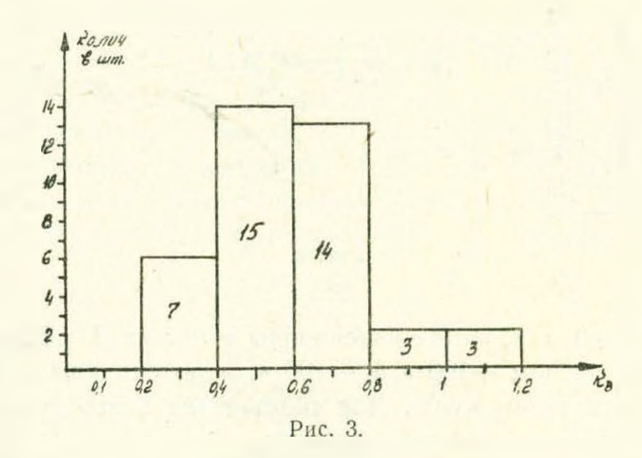


Схема множительного устройства

В основу схемы множительного устройства (рис. 4a) положено известное соотношение:

$$xy = \frac{1}{4} \left[(x+y)^2 - (x-y)^2 \right],$$

где х и у - множимое и множитель.

Эта же схема но без усилителей 1 и 2, несколько видоизмененная, представлена на рис. 4б.

Из рис. 4б видно, что сопротивления R_1 , R_2 , ..., R_8 образуют делитель напряжения.

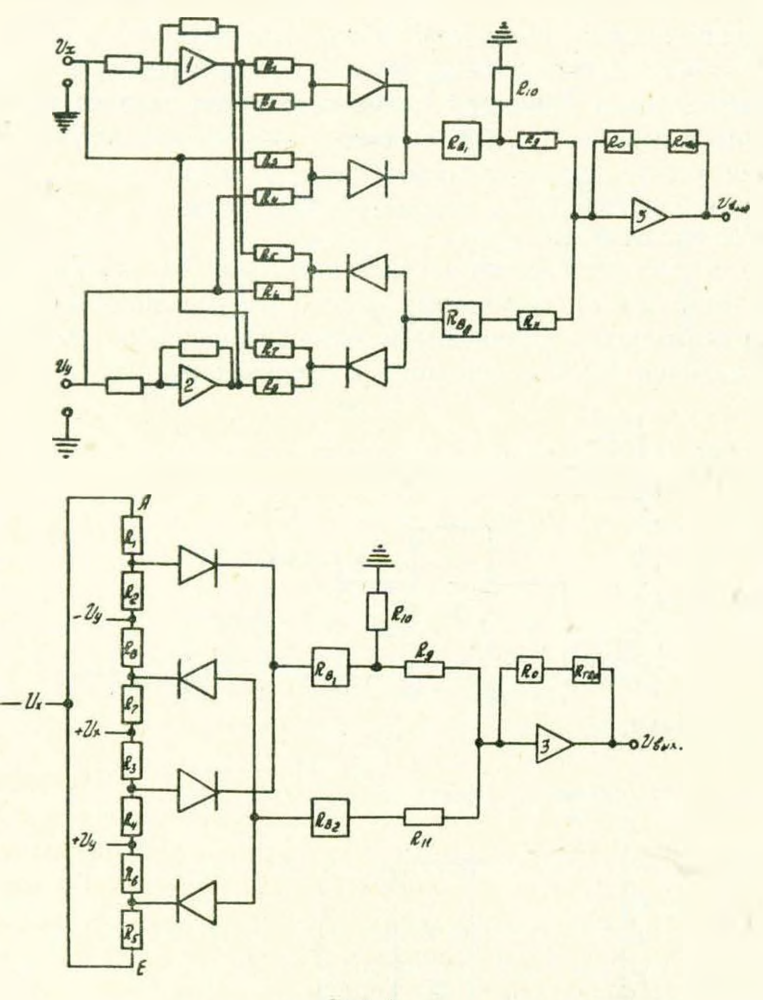


Рис. 4.

При $U_x = 0$ и $U_y = 100 s$ потенциалы в точках Д и В должны быть соответственно равны +100 s и -100 s, а потенциалы в точках А и С должны быть равны нулю. Для соблюдения этого условия необходимо выполнение следующих равенств:

$$R_1 + R_2 = R_5 + R_6;$$

 $R_8 + R_7 = R_3 + R_4.$ (2)

Аналогично при $U_y = 0$ и $U_x = 100 s$ имеем:

$$R_3 + R_4 = R_6 + R_5;$$

$$R_1 + R_2 = R_8 + R_7.$$
(3)

И, наконец, желательно иметь:

$$R_1 = R_2$$
; $R_3 = R_4$; $R_5 = R_6$; $R_7 = R_8$. (4)

В результате, на основе соотношений — (2), (3) и (4), имеем:

$$R_1 = R_2 = \cdots = R_8. \tag{5}$$

Зависимость между напряжениями на входе и выходе блок-схемы множительного устройства (рис. 4) на основе уравнений токов для узловых точек и с учетом условия (5) можно после ряда преобразований представить так:

$$U_{\text{BMX.}} = \frac{R_0}{\left(\frac{R_9 \cdot R_{10}}{R_9 + R_{10}} + R_B + \frac{R_1}{2}\right)} \frac{R_{10}}{R_9 + R_{10}} \frac{|U_x + U_y|}{2} - \frac{R_0}{R_{11} + \frac{R_1}{R_2} + R_B} \frac{|U_x - U_y|}{2}.$$
 (6)

Для установления значений R_1 , R_9 , R_{10} и R_{11} , добавочные сопротивления R_{g_1} и R_{g_2} обеих варисторов представим в виде суммы двух сопротивлений

$$R_{g_1} = \frac{R_1}{2} + R_2;$$

$$R_{g_2} = \frac{R_1}{2} + R_{11},$$
(7)

причем так, чтобы в написанных уравнениях первые слагаемые были бы равны между собой. Чтобы делитель напряжения, составленный из сопротивлений R_1 , R_2 ..., R_0 , не представлял бы собой большую нагрузку для операционных усилителей ВМНД, величину сопротивления R_1 желательно выбрать в пределах $8 \div 30$ ком. После выбора величины сопротивления R_1 на основании (7) найдем R_{11} и R_3 .

Для определения R_{θ} и R_{10} напишем еще следующие соотношения;

$$R_{9} = \frac{R_{9} \cdot R_{10}}{R_{9} + R_{10}}; \tag{8}$$

$$\frac{R_{10}}{R_9 + R_{10}} = \frac{K_{B_1}}{K_{B_2}} = p. (9)$$

где $K_{\rm B_1}$ и $K_{\rm B_2}$ — соответственно коэффициенты первого и второго квадраторов. В цепь множительного устройства с делителем $R_{\rm 9}$ и $R_{\rm 10}$ включается варистор с меньшим $R_{\rm g}$.

Из совместного решения (8) и (9) найдем:

$$R_9 = \frac{R_9}{p} \quad \text{if } R_{10} = \frac{R_9}{1 - p}$$
 (10)

Рассмотрим в качестве примера расчет параметров множительнозго устройства, варисторы которого имеют следующие параметры: Варистор (B_1) $R_{g_1} = 18,81$ ком. $K_{B_1} = 0,633$. Варистор (B_2) $R_{g_2} = 22,7$ ком. $K_{B_1} = 0,894$.

В качестве сопротивлений R_1 , R_2 , ..., R_8 , отобрано 8 сопротивлений по 29,4 ком.

Тогда на основании (7) имеем:

$$R_{11} = 22.7 - \frac{29.4}{2} = 7.3 \text{ ком};$$
 $R_{3} = 18.81 - \frac{29.4}{2} = 4.1 \text{ ком}.$

Поскольку

$$p = \frac{K_{B_1}}{K_{B_2}} = \frac{0.633}{0.894} = 0.71,$$

$$R_9 = \frac{4.1}{0.71} = 5.8 \text{ ком};$$

$$R_{10} = \frac{4.1}{1 - 0.71} = 14 \text{ ком}.$$

T()

С учетом вычисленных значений параметров была собрана схема множительного устройства, посредством которой найдены решения при различных значениях U_x и U_y . Максимальная величина погрешности составляет $0,7^0/_0$. Аналогичный результат получен и в других примерах. Величива погрешности в значительной степени связана с изменением параметров варистора от изменения температуры. С целью уменьшения влияния температуры и влажности окружающей среды на точность решения, варисторы были покрыты гудроном толщиной слоя $2 \div 3$ мм. Наблюдалось также некоторое изменение параметров варистора от проходящего через него тока. Последнее можно частично компенсировать установлением термосопротивления в обратную связы выходного усилителя множительного устройства.

Изготовленная в Институте энергетики АН Армянской ССР партия множительных устройств на варисторах предназначена для расширения возможностей вычислительной машины МТП-9. Эти множительные блоки размещены в стойке блоков переменных коэффициентов, монтажная схема питания которой в связи с этим несколько переделана. Такая реконструкция позволит использовать машину МПТ-9, для решения дифференциальных уравнений с большим числом нелинейностей.

Институт энергетики АН Армянской ССР

Поступило 3.V. 1963

Պ. Ա. ՄԱԹԵՎՈՍՅԱՆ

ՎԱՐԻՍՏՈՐՆԵՐՈՎ ՀԱՎԱՔՎԱԾ ԲԱԶՄԱՊԱՏԿՈՂ ՀԱՐՄԱՐԱՆՔ

Ամփոփում

Հոդվածում դիտարկվում է ոչ գծային կիսահաղորդիչային դիմադրությունով հավաքած բազմապատկող հարմարանքի քառակուսային բնութագրի պարամետրերի ընտրման մեթոդը։ Այն իրականացվում է անընդհատ գործող մաթեմատիկական մեքենայի վրա հավաքված սխեմայի օգնությամբ։

Ի տարբերություն գոյություն ունեցող մեթոդներից, այս մեթոդով պարամետրերի ընտրումը կատարվում է շատ պարզ եղանակով։ Այս դեպքում պահանջվում է քառակուսային բնութագրի համընկումը իղեալական պարաբոլայի հետ ոչ թե երեք կետում, այլ երկու կետում և մեկ կետում էլ մոտավոր համընկման պայմանով, որը իհարկե թույլատրելի է տված սահմաններում։

Բազմապատկող հարմարանքը օգտագործվում է անընդհատ դործող մա-Թեմատիկական մեջենաներում, որպես առանձին բլոկ։

ЛИТЕРАТУРА

- 1. Маслов А. А. Множительно-делительное устройство на тиритах. Журн. "Автоматика и телемеханика". Т. XVIII, № 4, 1956.
- Фициер Л. Н. Блок произведения на тиритах. Журп. ,Приборостроение", № 4, 1956.
- 3. Бенин В. Ч. Ваттметр на карборундовых сопротивлениях. Журн. "Автоматика и телемеханика". т. XVI. № 2, 1955.
- 4. Коган Б. Я. Электронные моделирующие устройства и их применение для исследования систем автоматического регулирования. М., 1959.
- Розенб лат М. А., Седых О. А. Электрические свойства и применение карборундовых сопротивлений. Журн. "Автоматика и телемеханика", т. XII, № 4, 1959.
- 6. Пасынков В. В., Савельев Г. А., Чиркин Л. К. Нелинейные полупроводниковые сопротивления и их применение. Судпромгиз. Л., 1962.